

Si₃N₄-Zr(Y)O₂ 복합체의 열처리에 따른 상분석 및 파괴인성

김재룡* · 김종희

한국과학 기술원 개료공학과

(1990년 9월 17일 접수)

Phase Analysis and Fracture Toughness of Si₃N₄-Zr(Y)O₂ Composites after Heat Treatment

Jae Ryong Kim* and Chong Hee Kim

Dept. of Mat. Sci. and Eng., Korea Advanced Institute of Science and Technology

(Received September 17, 1990)

요약

Si₃N₄-Zr(Y)O₂ 복합체를 700°C의 고진공(<10⁻⁵ torr)과 공기중에서 열처리하였을 때 Si₃N₄와 ZrO₂간의 반응생성물을 조사하였다. 그결과 진공열처리중에 생성된 ZrN은 공기중에서 열처리함에 따라 쉽게 산화되었다. 또한 ZrN 생성량은 ZrO₂에 고용되어 있는 Y₂O₃함량과도 연관되어 있었다. 공기중에서 열처리를 힘에 따라 파괴인성이 증가하였으며 아울러 시편 표면의 ZrN 산화에 기인된 spalling 현상이 발견되었다. 결과적으로 Si₃N₄-ZrO₂ 복합체중의 반응생성물, ZrN은 산화조건에서 복합체의 파괴인성 증진에 기여한다고 생각된다.

ABSTRACT

The reaction product between Si₃N₄ and ZrO₂ has been studied by heat treatment of Si₃N₄-Zr(Y)O₂ composite in high vacuum(<10⁻⁵ torr) and in air at 700°C. ZrN was formed after heat treatment in vacuum and easily oxidized after heat treatment in air. The amount of ZrN is related to the Y₂O₃ content dissolved in ZrO₂. After the heat treatment in air the toughness increased and the spalling due to the oxidation of ZrN in specimen surface was observed. As a result, it is suggested that the formation of ZrN phase in Si₃N₄-ZrO₂ composite enhance the toughness of the composite in an oxidation condition.

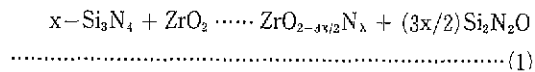
1. 서 론

세라믹 엔진 재료로서 Si₃N₄가 우수한 기계적 일적특성을 갖고 있는 것은 널리 알려져 있다¹⁾. 이와 함께 ZrO₂ 역시 단열 엔진재료로서 뿐만 아니라 자체의 상변태를 이용한 강화기구를 이용하여 여러 재료의 파괴인성을 증진시

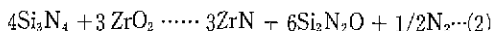
키는데 제2장으로 많이 사용되고 있다²⁾. Si₃N₄-ZrO₂ 복합체에 대한 연구는 Rice 등³⁾에 의해서 Si₃N₄에 ZrO₂가 소결촉진제로 사용된 이후 우수한 기계적 특성 및 질착공구로서의 특성^{4~6)}이 보고되고 있고 특히 Si₃N₄-Zr(Y)O₂ 복합체에서는 ZrO₂에 고용되어 있는 Y₂O₃가 소결중에 소결촉진제로서의 역할도 한다^{7~9)}. 이러한 Si₃N₄-ZrO₂ 계에서는 두 물질간에 빈공이 일어나 zirconium oxynitride(ZrON) 등의¹⁰⁾ 새로운 상들이 형성되고 이것들

*현제 동양시멘트 기술연구소 재직

이 600°C 이상의 온도에서 쉽게 산화되어 표면잔류응력 발생에 따른 기계적 물성의 향상과 심하면 spalling 현상이 나타난다고 보고되고 있다¹¹⁾. 이와 같이 산화되기 쉬운 ZrON에 대해서 Tendeloo 등이 그 구조를 밝힌 바 있으며^{12,13)}, Lange은 아와 같이 $\text{Si}_3\text{N}_4-\text{ZrO}_2$ 간에 일어나는 반응으로서 다음과 같은 반응식을 제시하였다⁹⁾.



또한 $\text{Si}_3\text{N}_4-\text{Zr(Y)O}_2$ system에서 Y_2O_3 고용량에 따라 $\text{Si}_3\text{N}_4-\text{ZrO}_2$ 간 반응이 억제된다고 보고되었으나 이러한 ZrON은 매우 불안정하여 전자현미경 관찰시 electron beam에 의해서도 그 구조가 쉽게 파괴되는 관계로^{12,13)} 아직까지 $\text{Si}_3\text{N}_4-\text{ZrO}_2$ 계에서 직접 관찰되지 못하고 간접적인 증거로서 식 1)의 반응을 통해 생성되는 $\text{Si}_2\text{N}_2\text{O}$ 의 존재로서만 추정하고 있다. 한편 이러한 계에서는 다음과 같은 반응도 가능한데¹⁴⁾



이러한 경우 형성된 ZrN의 산화에 따른 부피 팽창은 ZrON의 5%에 비하여 20% 가까운 팽창이 발생하게 되어 공기중에서 산화되었을 때 기계적 물성에 더욱 큰 영향을 주리라 예상된다. 따라서 본 연구에서는 $\text{Si}_3\text{N}_4-\text{Zr(Y)O}_2$ 복합체에서 ZrN 상의 생성을 알아보기 위하여 진공 및 공기중에서 열처리했을 때 생성된 각 상들을 살펴보았으며 아울러 이에 따른 이들 복합체의 파괴인성 변화를 조사하였다.

2. 실험방법

2.1. 출발원료

본 실험에 사용한 Si_3N_4 분말은 H.C. Starck 사의 LC-12분말과 Toyo Soda의 ZrO_2 분말을 사용하였다. ZrO_2 는 Y_2O_3 가 고용되어 있지 않은 분말(Zr(OY)O_2)과 6 mol%, 8 mol% 고용되어 있는(각각 Zr(6Y)O_2 , Zr(8Y)O_2) 것을 Si_3N_4 에 대해 5, 10, 15, 20, 30 vol%가 되도록 청량하여 사용하였다.

Si_3N_4 와 ZrO_2 간의 밀도차는 거의 두배에 가깝기 때문에 균일한 혼합을 위하여 aceton을 용매로 centrifugal mill¹에서 2시간, 그리고 vibratory mill²에서 10분간 혼합하는 공정을 기쳤다. milling 시에는 ZrO_2 로 된 용기와 ball을

사용하였으며 엔다되어 혼합된 양은 공정 전후의 용기 및 ball 무게 변화로서 측정한 결과, 약 1wt%였다.

2.2. 가압소결(hot pressing)

혼합된 분체를 약 4g 씩 칠량하여 BN 가 coating 된 흑연 sleeve에 충전시킨 후(직경 20φ), 다시 BN이 coating 된 흑연 mold에 삽입하고, tungsten을 발열체로 하는 가압소결로^{3*}에서 질소분위기하, 1750°C, 1시간동안 5000psi의 압력으로 소결하였다. 이때 승온속도는 13.5°C/min였으며, 정체 질소분위기속에서 온도를 유지시킨 후, 로냉을 하였다.

2.3. 파괴인성 측정용 시편가공

가압소결된 시편들은 고속 다이아몬드 절단기를 이용하여 2.5mm 정도 두께의 disk로 만들었다. 다시 이들 시편을 평면 연삭기를 이용하여 disk 양면이 평면을 유지하도록 하였으며, 연삭에 이용한 다이아몬드의 grit는 #200이었다. 이후 다이아몬드 grit는 #400, 800, 1200 순으로, 알루미나 분말 5, 1, 0.3μm로 미세 연마를 하였다. 이렇게 준비된 시편에 대하여 하중 10kg의 Vicker's indentation test를 행하였으며 각시편당 20개의 균열을 발생시키고 이중 가장 긴 균열 2개, 짧은 균열 2개 값을 제한값만을 데이터로 취하였다.

2.4. 열처리 공정

첨가된 ZrO_2 와 Si_3N_4 간의 반응 생성물과 산화에 따른 복합체의 파괴인성 변화를 알아 보기 위하여 다음 2가지 조건에서 열처리를 행하였다. 산화에 따른氮화를 관찰하기 위해서는 super kanthal을 발열체로 하는 상자형로^{**}에서 700°C 공기중에서 열처리를 하였으며, 진공 열처리는 diffusion pump가 정착된 tungsten 전기로^{***}에서 행하였다. 진공중의 열처리시 진공도는 7×10^{-6} 에서 5×10^{-5} torr 정도였다. 공기 및 진공중의 열처리시의 승온 속도는 공히 20°C/min로 하였다.

3. 결과 및 고찰

*Pulverisette 6, Fritsch, FRG

**Spex 8000 mixer/mill, Edison, N.J., USA

**Centorr 60 series, Centorr Associate, Inc., Suncook, N.H., USA.

***Rapid Temp. Furnace, C M Inc., USA

****Centorr 15 series, Centorr Associate, Inc., Suncook, N.H., USA

3.1. Si_3N_4 - ZrO_2 복합체

가압소결후 이들 복합체의 밀도는 $Zr(OY)O_2$ 의 경우 상대밀도 71%로서, ZrO_2 만으로는 소결이 충분히 진행되지 못하였다. 반면 나머지 $Zr(6Y)O_2$, $Zr(8Y)O_2$ 계의 경우는 따로 소결촉진제를 침가하지 않았음에도 불구하고 모두 97% 이상의 소결밀도를 보였는데, 이는 ZrO_2 에 고용되어 있는 Y_2O_3 성분이 소결중에 기지상에 확산되어 나와 소결을 진행시킨 결과이다. Fig. 1에는 $Zr(8Y)O_2$ 계 가압소결 시편의 단면 사진으로써 표면의 반응층을 볼 수 있으며, 첨가된 ZrO_2 의 양이 증가함에 따라 이 층의 두께 역시 함께 증가하고 있다. X 선 회절분석 결과, 반응층은 주로 ZrN 상으로 구성되어 있으며 β 상의 Si_3N_4 와 입방정 ZrO_2 상이 겹쳐져 있다. 이때 Lange 등이 보고한 $ZrON$ 상은 구분할 수 없었으며 Lange 자신도 실제 이러한 복합체에서 $ZrON$ 상을 직접 확인하지 못하였다¹⁹⁾. 이러한 표면 반응층에 대해 Tjernlund 등은¹⁵⁾ $ZrO_2-ZrN-O_2$ 와 $CO_2-CO-C-O_2$ Ellingham diagram에 바탕을 둔 일련의 실험 결과를 비교하여 소결온도, 사용로의 종류, powder bed 법의 사용유무, 소성 분위기에 따라서 ZrN 형성이 좌우된다고 보고하였다. 따라서 가압소결을 행한 본 실험 공정을 고려할 때 시편 표면은 흑연 sleeve 와 직접 접촉되어 있는 관계로 흑연의 영향을 받아 접종직으로 ZrN 이 형성되었으리라 생각된다. 이러한 영향을 고려하여 열처리에 따른 반응상의 관찰은 연삭에 의해 표면층이 충분히 제거된 bulk 시편에 대해서 시행하였다. bulk 시편에서의 ZrN 상은 X 선상에서 미량 겹쳐져 있고 이때 비록 시편 내부에 ZrN 이 미량이나마 존재하고 있어도 산화시에 큰 부피팽창이 발생하기 때문에 이에 따른 기계적 물성의 변화

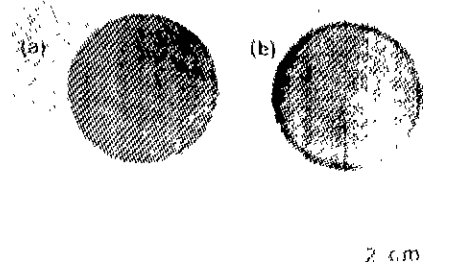


Fig.1. Macro view of Si_3N_4 -(a) 10vol% and (b) 20 vol% of $\text{Zr}(8\text{Y})\text{O}_2$ composite. Darker layer in outer region is mainly composed of ZrN . And this phase are thicker with the amount of added ZrO_2 .

는 매우 크리라 예상된다. 이에 대해서는 뒷절에서 다시 언급하기로 한다.

3.2. 열처리에 따른 복합체의 상변화

Table 1에 Zr(OY)O₂, Zr(6Y)O₂, Zr(8Y)O₂ 복합체를 전공 및 이를 다시 공기중에서 일처리 했을 때 ZrN의 변화^x를 나타내었다. 이때 ZrN 반응상에 관련된 질소성 분들은 고진공속에서 열처리 하였기 때문에 주로 Si₃N₄에서 공급되었다고 볼 수 있다. Table 1에서 c/m은 입방정 ZrO₂의 (111)면과 단사정 ZrO₂의 (111), (111̄)면 peak 강도의 분율을 나타내며, Si₃N₄와 ZrN의 상대분율은 ZrN의 (111)면과 Si₃N₄의 (101)면, 그리고 ZrN의 (200)면과 Si₃N₄의 (111)면 peak 가 서로 겹쳐 나타나는 관계로 ZrN의 (220)면 peak로 ZrN의 존재여부를 확인한 후 (이 peak은 Si₃N₄나 ZrO₂의 어떤 peak와도 겹치지 않음), 질화규소 (210)면과 (111)면과의 상대 비교치를 보정계수로써 결정하였다. 이것을 이용하여 ZrN(200)면의 peak 강도를 보정함으로써 I_{Zr(200)}을 결정하고 다음과 같이 상대비를 계산하였다.

$$\frac{I_{Z(200)}}{I_{Z(200)} + I_{S(210)}} \quad \dots \dots \dots \quad (3)$$

Table 1. Phase Analysis of Si_3N_4 – ZrO_2 Composite at Various Heat Treatment Condition.

Sample*	Heat Treatment Condition**	c/m	ZrN/Si ₃ N ₄
Zr(OY)O ₂	(1) No	1.78	0.56
	(2) Vac. at 700°C	0.79	0.89
	Oxid. of (1) at 700°C	0.15	0.10
	Oxid. of (2) at 700°C	0.09	0.10
Zr(6Y)O ₂	(1) No	-	0.03
	(2) Vac. at 700°C	-	0.09
	(3) Vac. at 1100°C	-	0.37
	(4) Oxid. of (3) at 700°C	-	0.00
Zr(8Y)O ₂	(1) No	-	0.01
	(2) Vac. at 700°C	-	0.03
	(3) Vac. at 1100°C	-	0.12
	(4) Oxid. of (3) at 700°C	-	0.00

*The amount of ZrO₂ was 15 vol%

**Heat treatment time was 10h.

(Vac : Vacuum, Oxid : Oxidation in air, No. No heat treatment)

*Rigaku XRD, Japan

$I_{Z(200)}$: corrected(200) intensity of ZrN

$I_{S_{\beta}(210)}$: (210) intensity of β - Si_3N_4

여기서 $\text{Zr}(\text{OY})\text{O}_3$ 의 경우 진공에서 열처리함에 따라 식(1)과 같은 반응을 통해 생성된 ZrON 상이 일방정 ZrO_2 (Nitride Stabilized Zirconia)로써¹⁶⁾ 나타나고 있다. 또한 (2)식과 같은 반응 경로를 통해 형성되었으리라 예상되는 ZrN 역시 증가하고 있으며 이들 두 반응상들은 공기중에서 열처리함에 따라 단사정 ZrO_2 로 쉽게 산화됨을 알 수 있다. 그러나 $\text{Zr}(\text{Y})\text{O}_3$ 의 경우는 ZrON 형성에 관련된 일방정 peak를 따로 구분할 수 없었으며, ZrN 상만이 열처리 온도가 높아짐에 따라 증가하고 있다. 따라서 Y_2O_3 가 관련된 계에서는 ZrON 보다 ZrN 의 생성이 유리한 반응경로로 판단된다. 또한 Y_2O_3 의 함량이 증가할수록 ZrN 생성이 억제되고 있으며 공기중에 열처리 했을 때 이 또한 쉽게 산화되어 겹출되지 않고 있다. Fig.2에 $\text{Zr}(8\text{Y})\text{O}_3$ 복합체를 진공 및 공기중에서 열처리 했을 때

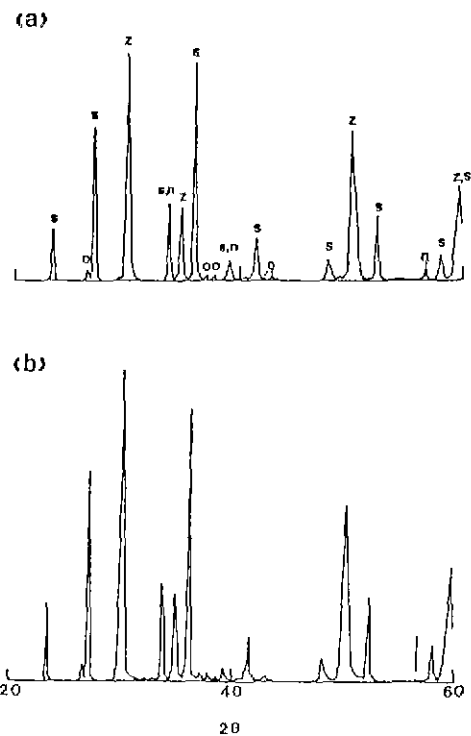


Fig.2. XRD patterns of 15vol% of $\text{Zr}(8\text{Y})\text{O}_3$ composite. (a) heat treated at 700°C in vac, (b) re-heat treated (a) at 700°C in air (S : Si_3N_4 , Z : ZrO_2 , O : $\text{Si}_2\text{N}_2\text{O}$, n : ZrN peaks)

ZrN 의 XRD peak 변화를 나타내었다. 지금까지 $\text{Si}_3\text{N}_4-\text{ZrO}_2$ 계에서의 열처리에 따른 ZrN 상의 거동을 살펴 보았으나 보다 정량적인 해석을 위해서는 ZrON 과 ZrN 생성에 대한 열역학적 데이터의 확보와 이에 대한 고찰이 요구된다.

3.3. 열처리에 따른 복합체의 파괴인성 변화

열처리 전 ZrO_2 침가량에 따른 복합체의 파괴인성 변화를 Fig.3에 나타내었다. 이때 파괴인성은 indentation method를 이용한 Lawn & Fuller 식을¹⁷⁾ 사용하였다. ZrO_2 첨가량에 따라 복합체의 파괴인성은 20vol%를 전후로 하여 증가하다가 이후에는 별 증가없이 약간 감소하는

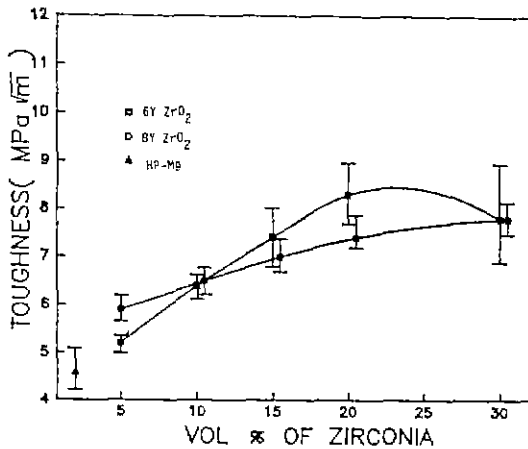


Fig.3. Fracture toughness variations of $\text{Si}_3\text{N}_4-\text{Zr}(6\text{Y})\text{O}_2$ and $\text{Zr}(8\text{Y})\text{O}_2$ composite with the amount of added ZrO_2 .

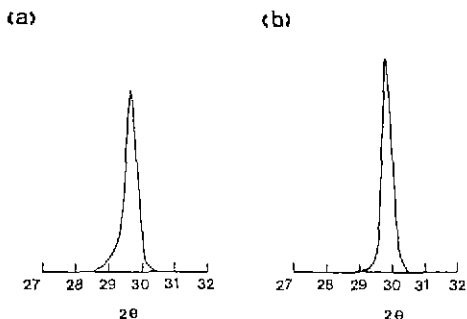


Fig.4. XRD patterns of ZrO_2 peak of $\text{Si}_3\text{N}_4-\text{Zr}(6\text{Y})\text{O}_2$ composite, (a) ground with diamond #200 grit and (b) annealed in liquid nitrogen.

추가에 있으며 아울러 비교치료써 MgO 가 소질조제로 제조된 가압소결 Si_3N_4 (HP-Mg)의 인성값을 나타내었다. ZrO_2 첨가에 따라 최대 약 1.8배 정도 높은 파괴인성 증진을 나타내고 있으나 ZrO_2 의 상변태에 의한 인성강화보다는 기자상과 제2상간의 열적, 탄성적 차이에 의한 균열굴절효과가 주된 것으로 생각된다. 이것은 Fig. 4와 같이 복합체를 #200 다이아몬드로 ground 하였을 때와 액체 질소속에 10분간 annealing 한 경우 단사정으로의 상변태가 발생하지 않은 결과와 Fig. 5와 같이 복합체에서 균일이 굴절되고 있는 양상을 통해 판단되어진다.



Fig. 5. Optical micrograph of Si_3N_4 -15vol% $\text{Zr}(6\text{Y})\text{O}_2$ composite; crack deflections are shown.

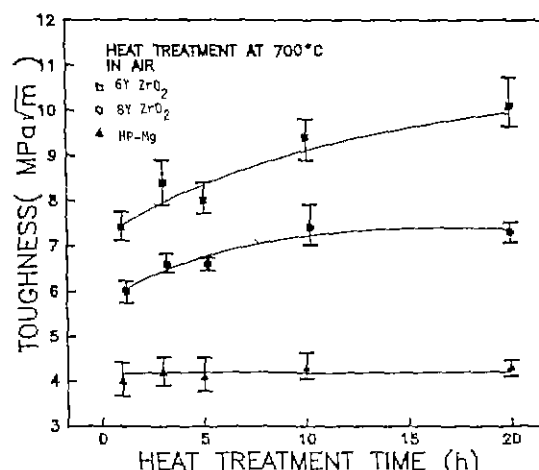


Fig. 6. Fracture toughness variations of Si_3N_4 -15 vol% $\text{Zr}(6\text{Y})\text{O}_2$ and $\text{Zr}(8\text{Y})\text{O}_2$ composite and hot pressed $\text{MgO}-\text{Si}_3\text{N}_4$ with heat treatment time.

열처리 분위기에 따른 파괴인성 변화는 Fig. 6과 7에 도시하였다. 진공중에서의 경우는 열처리 시간에 따라 $\text{Zr}(6\text{Y})\text{O}_2$ 나 $\text{Zr}(8\text{Y})\text{O}_2$ 두 경우 큰 변화가 없는 반면, 공기중의 경우는 두 경우 공히 파괴인성이 증가되고 있다*. 특히 $\text{Zr}(6\text{Y})\text{O}_2$ 가 $\text{Zr}(8\text{Y})\text{O}_2$ 제보다도 현저하게 증가되고 있다. 그러나 HP-Mg의 경우는 열처리 시간에 관계없이 일정한 값을 유지하고 있는데 이는 본 실험의 열처리 온도에서 기자상의 산화 혹은 결정학적 방위에 따른 열적 응력차에 의한 효과가 거의 없음을 의미한다. 따라서 이러한 결과는 반응생성을, ZrN 의 산화부피 팽창에 따른 표면 전류응력 영향이라 생각되며 앞질의 열처리 실험에서 Y_2O_3 고용량에 따른 ZrN 의 생성과도 밀접한 연관이 있다고 믿어진다. 공기중에서 열처리시 표면상태의 변화를 광학현미경으로 관찰한 Fig. 8, 9를 보면 일처리 시간이 길어짐에 따라 표면에 spalling 현상이 두드러지고 있으며 아울러 $\text{Zr}(6\text{Y})\text{O}_2$ 가 더욱 이 양상이 현저하다. 따라서 열처리에 따른 파괴인성 증진은 인뜻 바꿔석하리라 생각될 수 있으니 표면 spalling에 의한 강도감소 및 열이력에 의한 열화등이 발생될 수 있어 가급적 기계적 물성의 산화 거동에 영향을 줄 수 있는 이러한 반응상 생성은 피하여야 한다.

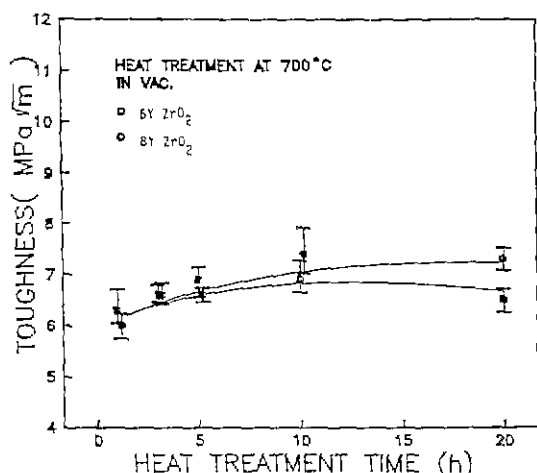


Fig. 7. Fracture toughness variations of Si_3N_4 -15 vol% $\text{Zr}(6\text{Y})\text{O}_2$ and $\text{Zr}(8\text{Y})\text{O}_2$ composite with heat treatment time.

*공기중에서 열처리에 따른 파괴인성 증진은 열처리시간 뿐만 아니라 ZrO_2 첨가량에도 바레하여 증가되고 있다.

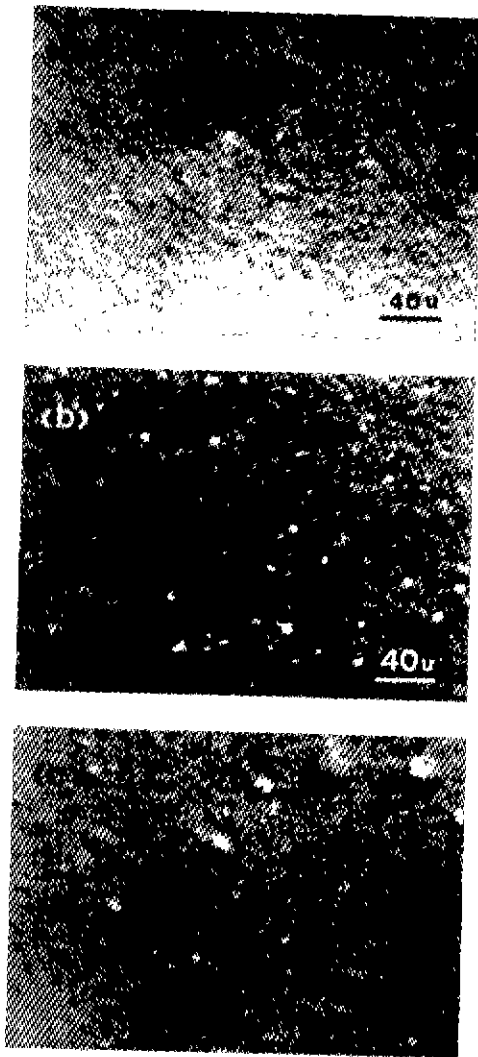


Fig.8. Optical micrographs of Si_3N_4 -15vol% $\text{Zr}(6\text{Y})\text{O}_2$ composite heat treated at 700°C in air for (a) 1, (b) 5, and (c) 20 h.

지금까지의 결과를 종합하여 보면, $\text{Si}_3\text{N}_4-\text{ZrO}_2$ 복합체에서 이들 두 상간의 반응생성물이 산화됨에 따라 파괴인성이 크게 변하며 또한 ZrO_2 에 고용되어 있는 Y_2O_3 함량도 연관되어 있음을 알 수 있다. 이러한 반응생성물로써 현재까지는 주로 ZrON 만을 고려하여 왔으나 본 열처리 실험을 통하여 ZrN 상 역시 반응상으로서 생성될이 가능하며 산화에 따른 기계적 물성 등에도 큰 영향을 주고 있다고 생각된다.

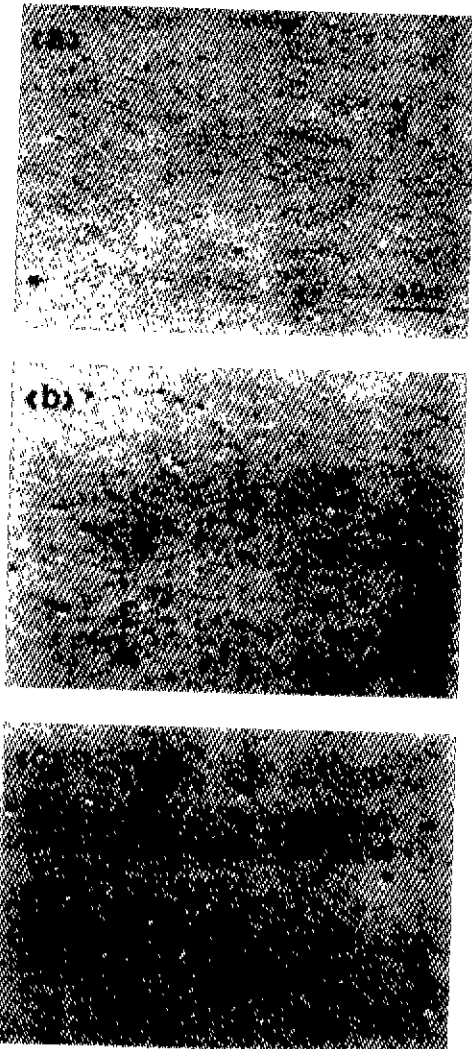


Fig.9. Optical micrographs of Si_3N_4 -15vol% $\text{Zr}(8\text{Y})\text{O}_2$ composite heat treated at 700°C in air for (a) 1, (b) 5, and (c) 20h.

4. 결 론

- 1) $\text{Si}_3\text{N}_4-\text{Zr}(\text{Y})\text{O}_2$ 복합체에서 전공열처리에 따라 반응상으로써 ZrN 이 검출되었으며 Y_2O_3 고용량이 증가할 수록 반응상의 생성이 억제되었다. 또한 이러한 반응상은 700°C 공기중에서 열처리하자 쉽게 산화되었다.

- 2) 복합체의 파괴인성 증진기구로서 ZrO_2 상변태에 의한 효과는 거의 없었으며 기지상과 개2상간의 열적, 텐성

적 차이에 기인한 균열 출점기구가 주된 것이라 생각된다.

3) 공기중 열처리에 따라 복합체의 파괴인성은 열처리 시간에 따라서 증가되었고 Y_2O_3 고용량이 적은 $\text{Zr}(\text{6Y})\text{O}_2$ 제가 $\text{Zr}(\text{8Y})\text{O}_2$ 보다 증가 양상이 뚜렷하였다. 이때 열처리 조건에서 기지상인 Si_3N_4 의 영향은 거의 없는 것으로 나타났으며 아울러 이러한 현상은 열처리에 따른 반응상의 결과로 부터 고찰할 때 기지상과 제2상간의 반응상, 즉 ZrN 의 산화 부피팽창에 기인한 표면잔류응력 영향 때문이라 생각된다.

REFERENCES

1. L.J. Schioler, "Heat Engine Ceramics," *J. Am. Ceram. Soc.*, **64** (2) 268-294 (1985).
2. N. Claussen, "Microstructural Design of Zirconia-Toughened Ceramics(ZTC)," pp.325-370 in Advances in Ceramics, Vol.3, Ed. by N.Claussen et al., Am. Ceram. Soc. Inc., 1983.
3. R.W. Rice and W.J. McDonough, "Hot-Pressed Si_3N_4 with Zr-Based Addition," *J. Am. Ceram. Soc.*, **58** (5-6) 264 (1975).
4. S. Dutta and B. Buzek, "Microstructure, Strength, and Oxidation of a 10wt% Zyttrite- Si_3N_4 Ceramic," *J. Am. Ceram. Soc.*, **67** (2) 89-92 (1984).
5. W.A. Sanders and D.M. Mieskowski, "Strength and Microstructure of Si_3N_4 Sintered with ZrO_2 Additions," *Adv. Ceram. Mater.*, **1** (2) 166-173 (1986).
6. G.N. Babini, A. Bellosi, R. Chiara, and M. Bruno, "Role of Binder Phase in Si_3N_4 Cutting Tools," *Adv. Ceram. Mater.*, **2** (2) 146-153 (1987).
7. J.R. Kim, D.H. Kim, and C.H. Kim, "Effects of Y_2O_3 and ZrO_2 on the Densification of Si_3N_4 - $\text{Zr}(\text{Y})\text{O}_2$ Composites," *Comm. Am. Ceram. Soc.*, **73** (8) 2567-2569 (1990).
8. J.R. Kim and C.H. Kim, "Effects of ZrO_2 and Y_2O_3 dissolved in zyttrite of the Densification and the α/β Phase Transformation of Si_3N_4 in Si_3N_4 - ZrO_2 Composite," *J. Mater. Sci.*, **25** 493-498 (1990).
9. F.F. Lange, L.K.L. Falk, and B.I. Davis, "Structural Ceramics Based on Si_3N_4 - $\text{ZrO}_2(+\text{Y}_2\text{O}_3)$ Composites," *J. Mater. Res.*, **2** (1) 66-76 (1987).
10. J.C. Gille, "Zirconium Oxynitride Preparation by Solid State Reaction and Structure," *Bull. Soc. Chim. Fr.*, 2118-2122 (1962).
11. F.F. Lange, "Compressive Surface Stresses Developed in Ceramics by an Oxidation Induced Phase Change," *J. Am. Ceram. Soc.*, **63** (1-2) 38-40 (1980).
12. G.V. Tendeloo and G. Thomas, "Electron Microscopy Investigation of the ZrO_2 - ZrN System-I, Formation of an Incommensurate Superstructure $\text{Zr}-\text{O}-\text{N}$," *Acta Metall.*, **31** (10) 1611-1618 (1983).
13. G.V. Tendeloo, L. Anders, and G. Thomas, "Electron Microscopy Investigation of the ZrO_2 - ZrN System-II, Tetragonal and Monoclinic ZrO_2 Precipitation," *Acta Metall.*, **31** (10) 1619-1625 (1983).
14. M.B. Trigg and E.R. McCartney, "Comparison of the Reaction Systems ZrO_2 - Si_3N_4 and TiO_2 - Si_3N_4 ," *Comm. Am. Ceram. Soc.*, **64** (11) C151-C152 (1981).
15. A.K. Tjernlund, R. Pompe, M. Holmstrom, and R. Carlsson, "Sintering and Phase Studies in the System Si_3N_4 - ZrO_2 - Al_2O_3 ," pp.1015-1021 in Advances in Ceramics, Vol.24, Ed. by S. Somiya et al., Am. Ceram. Soc. Inc., 1988.
16. N. Claussen, R. Wagner, L.J. Gauckler, and G. Petzow, "Nitride-Stabilized Cubic Zirconia," *J. Am. Ceram. Soc.*, **61** (7-8) 369-370 (1978).
17. B.R. Lawn and E.R. Fuller, "Equilibrium Penry-like Cracks in Indentation Fracture," *J. Am. Ceram. Soc.*, **59**, 331 (1976).